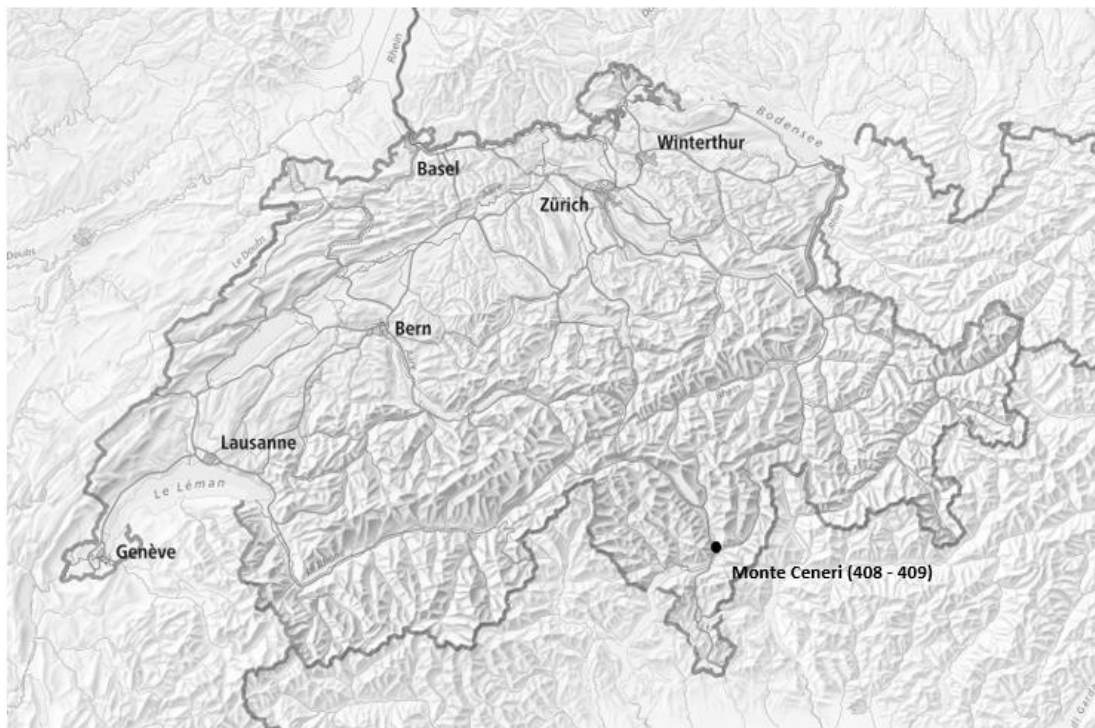




Monte Ceneri - 2019

Evaluation et traitement des données WIM



Impressum

Département fédéral de l'environnement, des transports, de l'énergie et de la communication DETEC

Office fédéral des routes OFROU

Division Réseaux routiers

Trafic & Innovations Management

Monitoring du trafic

Document

Document WIM_2019_408_409

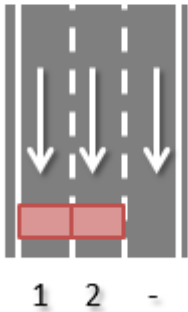

Version 1

Créé le 17.06.2020 – MAF

Table des matières

	Impressum	2
1	Fiche de station	4
2	Intégrité des données	5
3	Traitements statistiques	6
3.1	Répartition horaire annuelle	6
3.2	Répartition horaire annuelle HV (> 10 tonnes)	7
3.3	Répartition horaire journalière	8
3.4	Détection de véhicules	10
3.4.1	Par mois	10
3.4.2	Par nombre d'axes	11
3.4.3	Par classes SWISS10	11
3.4.4	Par tranches de masse	12
3.4.5	Silhouettes prédominantes	12
4	Modèle selon norme SN 640 320	13
4.1	Répartition entre les voies de circulation	13
4.2	Facteurs d'équivalence par classes de véhicules	13
4.3	Facteurs d'équivalence par catégories de véhicules	13
4.4	Facteur d'équivalence moyen	14
4.5	Classe de trafic pondéral équivalent actuelle selon SN 640 324	14
4.6	Tendance pour l'estimation du taux d'accroissement annuel	14
5	Caractéristiques des poids lourds	15
5.1	Caractéristiques des catégories de poids lourds	15
5.2	Caractéristiques globales de l'échantillon	19
6	Modèle selon norme SIA 261	21
6.1	Modèle de charge 1 selon SIA 261	21
6.1.1	Charge concentrée Q	21
6.1.2	Charge répartie q	21
7	Tendances	22
7.1	Evolution de la répartition horaire annuelle	22
7.2	Evolution de la détection par mois	24
7.3	Evolution du modèle de la norme SN 640 320	25
7.3.1	Evolution des facteurs d'équivalence par classes de véhicules	25
7.3.2	Evolution des facteurs d'équivalence par catégories de véhicules	26
7.3.3	Evolution du facteur d'équivalence moyen	26
7.3.4	Evolution du trafic pondéral équivalent journalier	26
7.4	Evolution du modèle de la norme SIA 261	27
7.4.1	Evolution des quantiles de la charge concentrée Q	27
7.4.2	Evolution des quantiles de la charge répartie q	28
8	Niveau de confiance	29
	Bibliographie	30

1 Fiche de station

Station	Canton	RN	N° ASTRA	Filiale	UT	Directions	Voies
Monte Ceneri	TI	A2	408 / 409	F3	IV	2	2 + 3
Situation							
<p>409 : Direction Chiasso (Lugano)</p>  <p>1 2 -</p>				<p>408 : Direction Gotthard (Bellinzona)</p>  <p>3 4</p>			
Enregistrements							
Type de fichiers :	Fichiers journaliers						
Format de fichiers :	NoASTRAANNEEMOISJOUR.extension						
Extension de fichiers :	*.V00, *.V01						
Filtre poids véhicules :	> 2998 kg						
Classification SWISS :	SWISS10						

Fichier de données		
Fichiers journaliers manquants	01.01.2019 – 10.01.2019 (409) 31.03.2019 26.08.2019 (409) 14.11.2019 – 31.12.2019	
Perte potentielle de données	11.01.2019 – 00 : 00 à 09 : 36 (409)	
Evènements particuliers		
1)	21.03.2019 – 09 : 08 à 09 : 13 (409)	Dédoublement du fichier de données. Non concordance des enregistrements.
2)	25.04.2019 – 16 : 44 à 16 : 49 (408)	Dédoublement du fichier de données. Non concordance des enregistrements.
3)	23.07.2019 – 10 : 47 à 10 : 52 (409)	Dédoublement du fichier de données. Non concordance des enregistrements.
Décisions		
1)	Fichier 40990321.V01 de 00 : 00 à 09 : 08 : Informations conservées. Fichier 40990321.V01 de 09 : 08 à 09 : 13 : Informations non-conservées. Fichier 40990321.V02 de 09 : 08 à 00 : 00 : Informations conservées.	
2)	Fichier 40890425.V00 de 00 : 00 à 16 : 44 : Informations conservées. Fichier 40890425.V00 de 16 : 44 à 16 : 49 : Informations non-conservées. Fichier 40890425.V01 de 16 : 44 à 00 : 00 : Informations conservées.	
3)	Fichier 40990723.V00 de 00 : 00 à 10 : 47 : Informations conservées. Fichier 40990723.V00 de 10 : 47 à 10 : 52 : Informations non-conservées. Fichier 40990723.V01 de 10 : 47 à 00 : 00 : Informations conservées.	
Concaténation		
Nom de fichiers :	2019_408_concat.log ; 2019_409_concat.log ;	
Nombre d'enregistrements :	1'013'228 (408) ; 746'552 (409)	
Nombre de jours effectifs :	316.0 (408) ; 304.6 (409)	

2 Intégrité des données

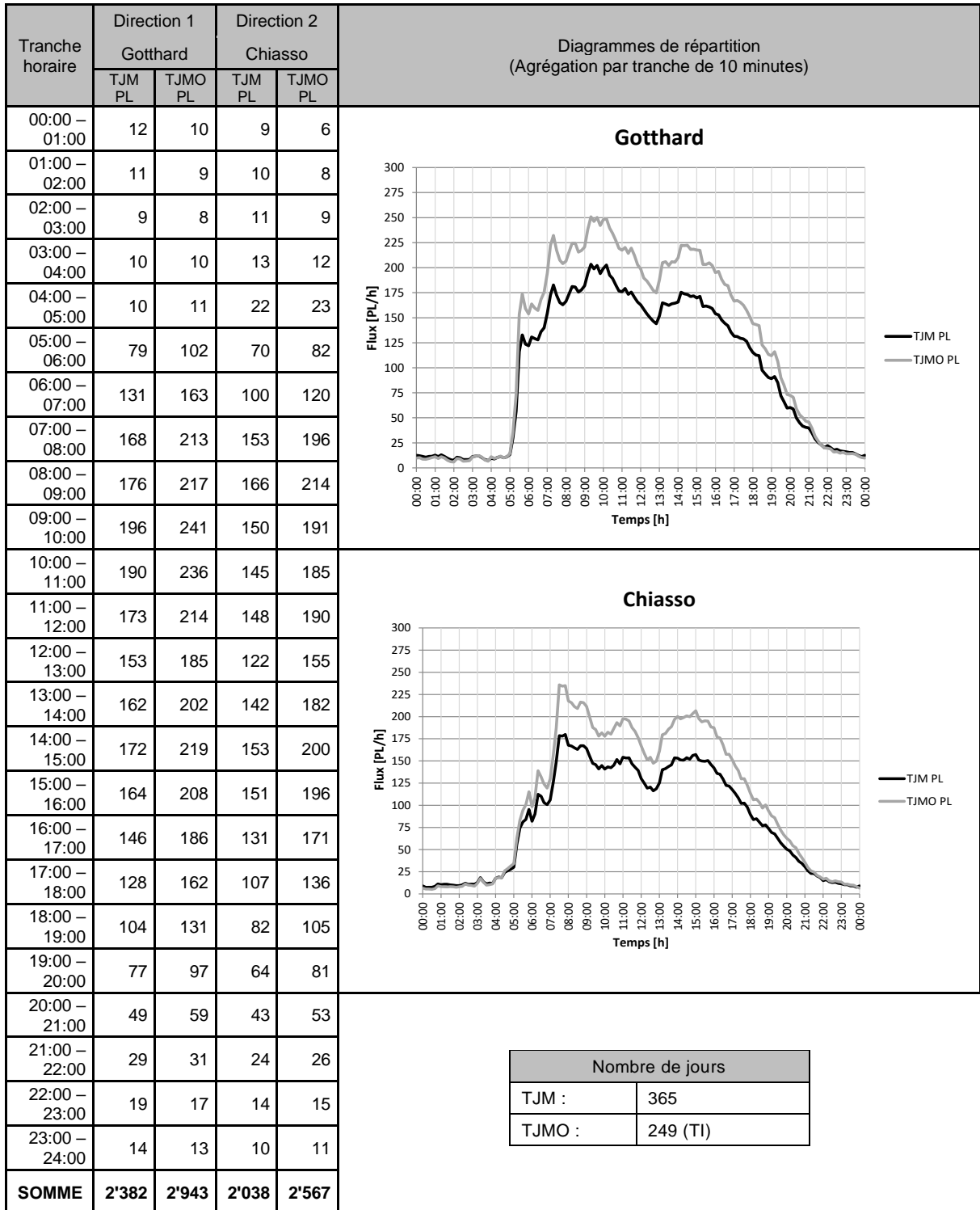
Documents de référence : [5] [6] [7] [8] [9] [10] [11]

Filtre des données (démarche pas à pas)	
1)	Véhicules de moins de 3.5 tonnes (336'378 enregistrements).
2)	759'039 enregistrements direction D1 (408). 36'175 enregistrements direction D2 (408). 626'537 enregistrements direction D1 (409). 1'649 enregistrements direction D2 (409).
3)	Longueur totale nulle (185 enregistrements).
4)	Longueur totale supérieure à 26.00m (7'326 enregistrements).
5)	Poids nul sur un des axes (28 enregistrements).
6)	Entraxe inférieur à 60cm (3'162 enregistrements).
7)	Poids total supérieur à 65 tonnes (503 enregistrements, hors grues mobiles).
8)	Poids sur un axe supérieur à 18 tonnes (107 enregistrements, hors grues mobiles).
9)	Longueur totale inférieure à 4.00m (619 enregistrements).
<i>Décisions</i>	
1)	Exclusion (2019_408_409_u3500.log).
2)	Exclusion des enregistrements direction D2 (1 seule direction enregistrée)
3)	Exclusion.
4)	Exclusion.
5)	Exclusion.
6)	Exclusion.
7)	Exclusion.
8)	Exclusion.
9)	Exclusion.
<i>Fichiers</i>	
Nom de fichier de traitement statistique :	2019_408_409.log
Nombre d'enregistrements :	1'373'648
Nom de fichier d'exclusions :	2019_408_409_exclus.log
Nombre d'enregistrements :	49'754

Sur un total de 1'759'780 enregistrements, 336'378 ont été séparés en raison de leur appartenance aux véhicules légers (< 3.5 tonnes) et 49'754 enregistrements (3.50%) ont été exclus du jeu de données de base en raison d'incohérences potentielles de données.

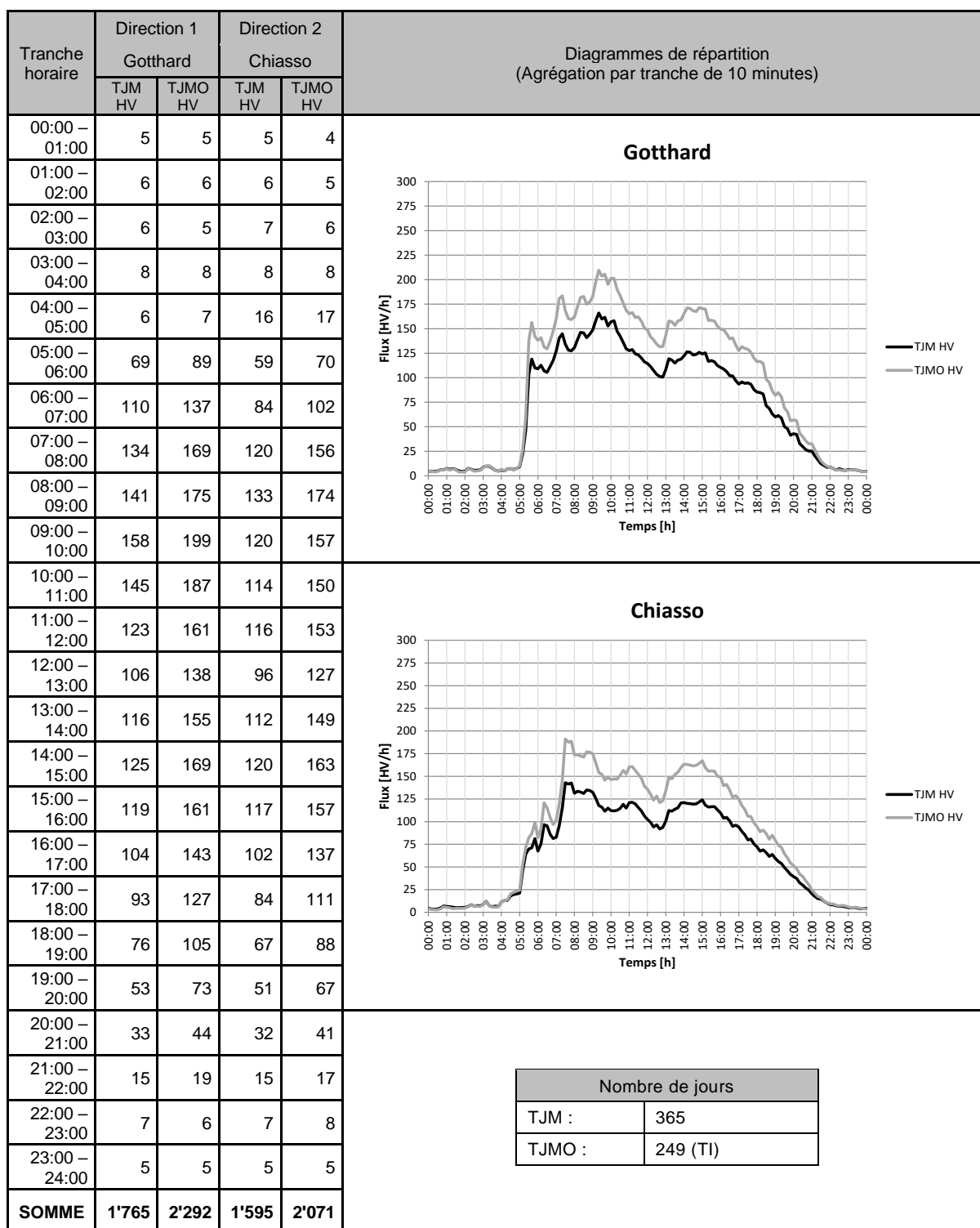
3 Traitements statistiques

3.1 Répartition horaire annuelle



Remarque : Le calcul des répartitions horaires prend en compte l'intégrité des données (jours manquants et pertes de données).

3.2 Répartition horaire annuelle HV (> 10 tonnes)

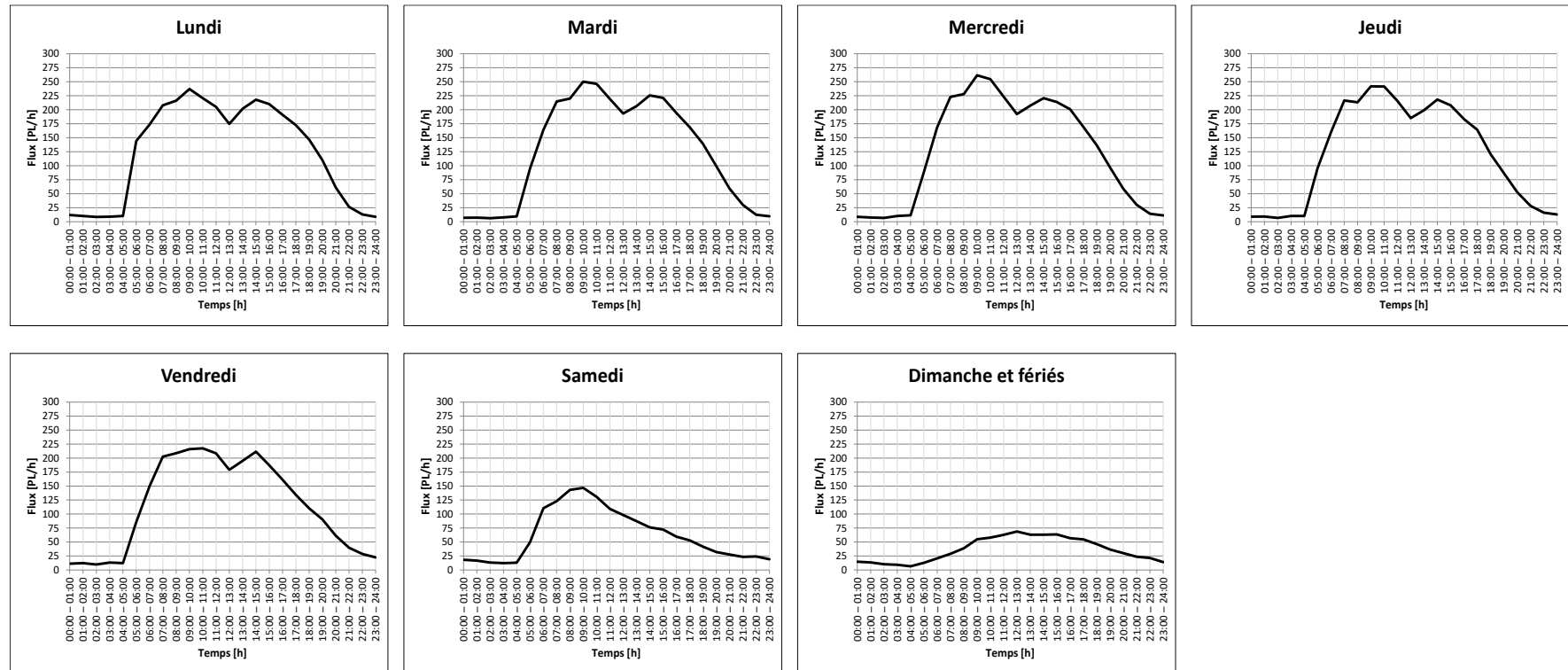


Remarque : Le calcul des répartitions horaires prend en compte l'intégrité des données (jours manquants et pertes de données).

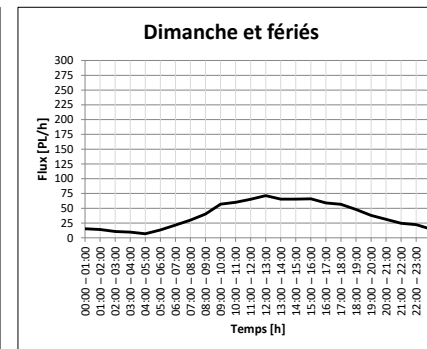
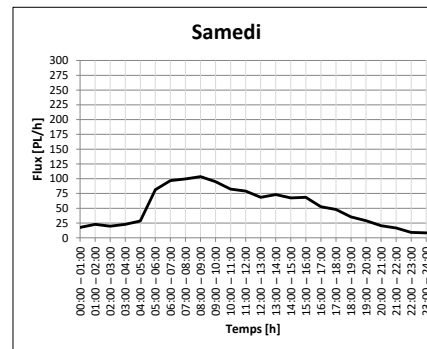
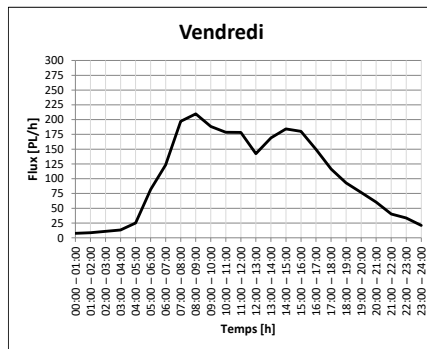
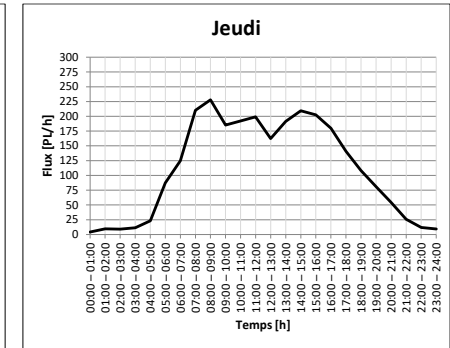
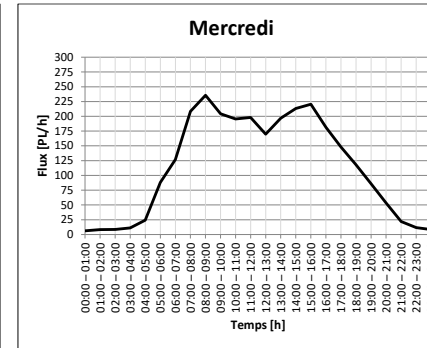
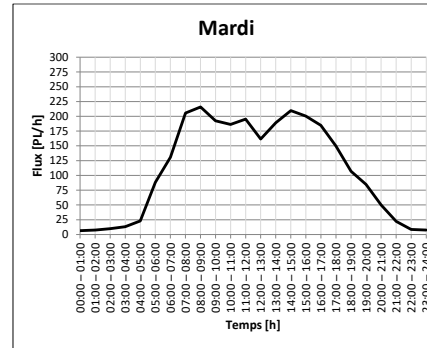
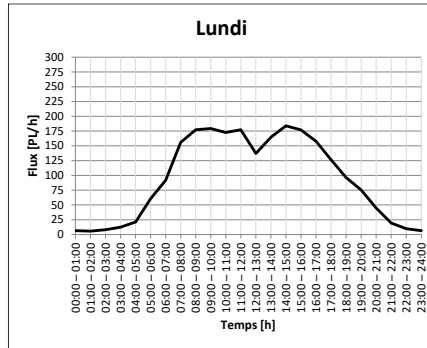
3.3 Répartition horaire journalière

Jours	Lundi	Mardi	Mercredi	Jeudi	Vendredi	Samedi	Dimanche et fériés
Nombre (TI)	50	51	50	47	51	51	65

Direction 1 : Gotthard (Agrégation par heure)



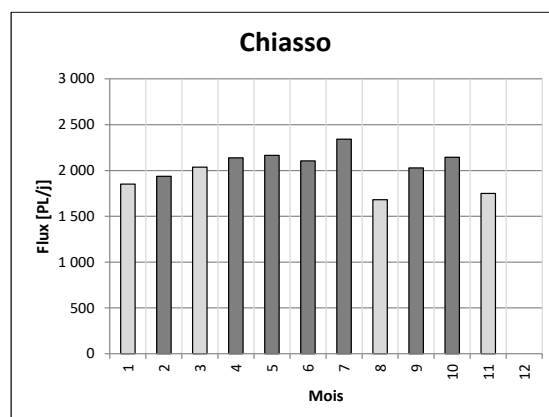
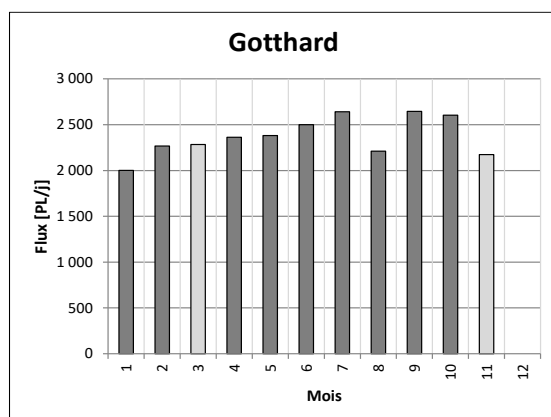
Direction 2 : Chiasso (Agrégation par heure)



3.4 Détection de véhicules

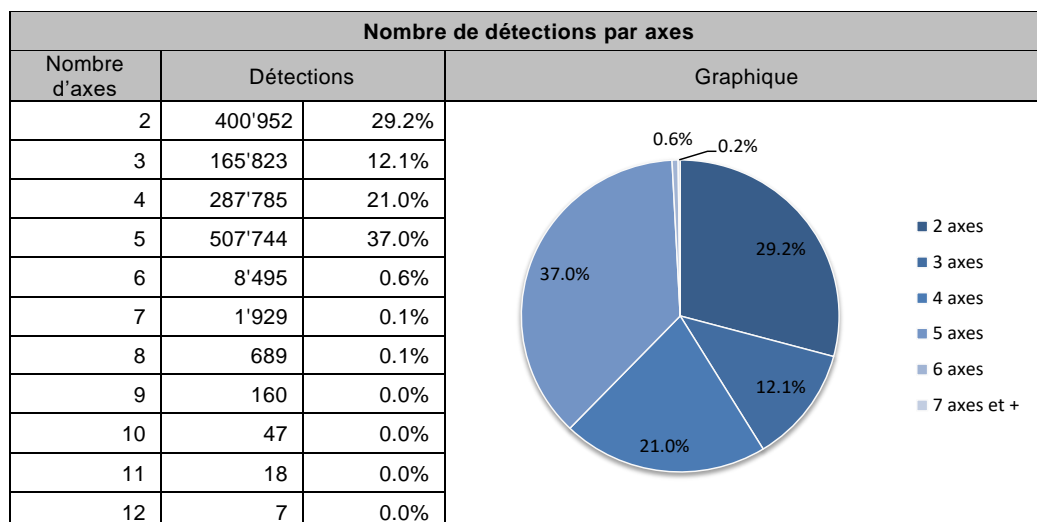
3.4.1 Par mois

Nombre de détections par mois		
Mois	Direction 1 : Gotthard	Direction 2 : Chiasso
Janvier	62'067	38'154
Février	63'504	54'232
Mars	68'525	61'125
Avril	70'862	64'164
Mai	73'846	67'132
Juin	75'028	63'134
Juillet	81'903	72'596
Août	68'547	50'425
Septembre	79'344	60'872
Octobre	80'717	66'464
Novembre	28'257	22'747
Décembre	-	-



Remarque : Le calcul des répartitions mensuelles prend en compte l'intégrité des données (jours manquants et pertes de données). Mois de janvier (409), mars, août (409) et novembre : valeurs de détections non estimées, valeurs journalières estimées.

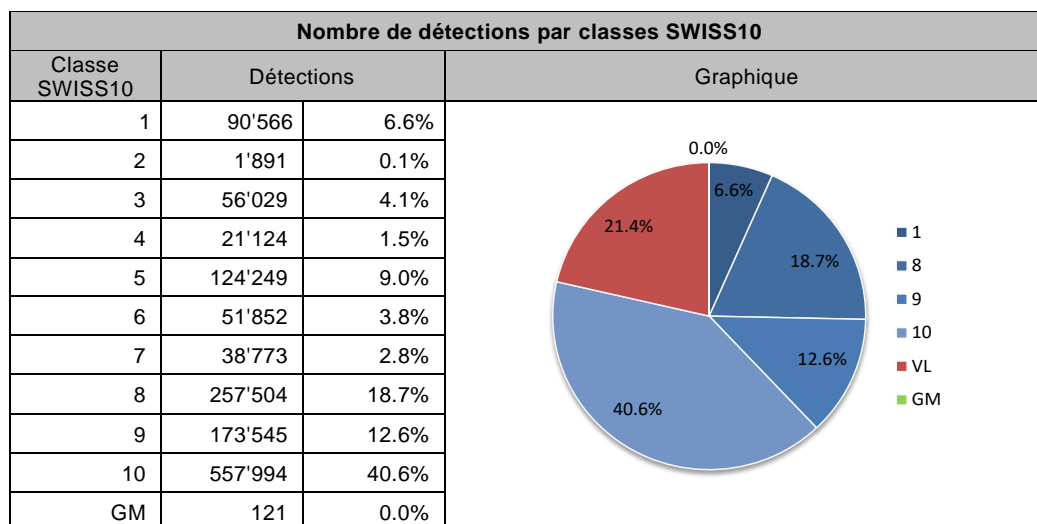
3.4.2 Par nombre d'axes



3.4.3 Par classes SWISS10

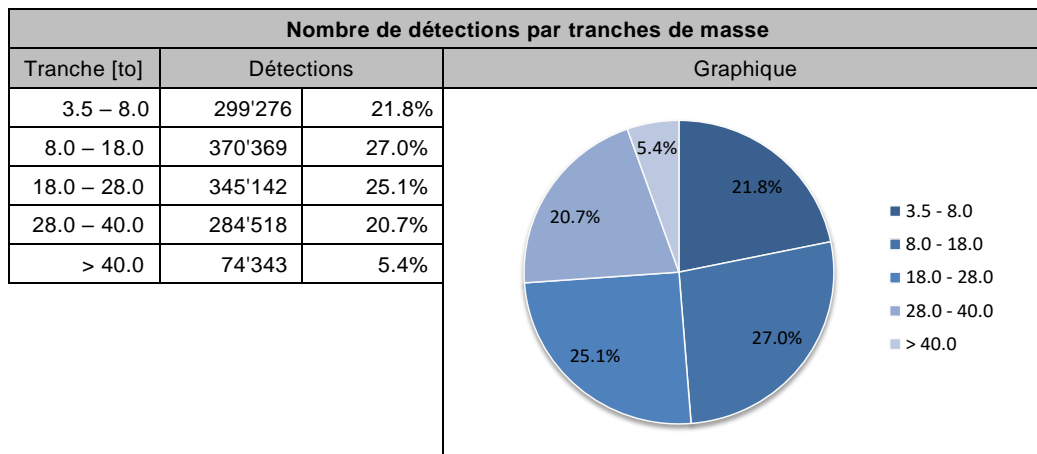
Classes de véhicules Swiss 10 [4]

Saisie des classes selon le schéma «Swiss 10 »	Saisie pour le comptage suisse de la circulation routière (CSCR)	Saisie pour la gestion du trafic
2 : Motocycle	2 : Motocycle	1 : Véhicules assimilables à des VT (véhicules < 3.5 t)
3 : Voiture de tourisme	3 : Voiture de tourisme	
4 : Voiture de tourisme avec remorque		
5 : Voiture de livraison	4 : Voiture de livraison	
6 : Voiture de livraison avec remorque		2 : Véhicules assimilables à des camions (véhicules > 3.5 t)
7 : Voiture de livraison avec galerie		
1 : Bus, car	1 : Bus, car	
8 : Camion	5 : Camion	
9 : Train routier	6 : Train articulé + véhicule articulé	
10 : Véhicule articulé		



On constate que 293'918 enregistrements (classes 2 à 7, 21.4%) sont classifiés parmi les catégories assimilables aux véhicules légers alors que leurs enregistrements font référence à des véhicules lourds.

3.4.4 Par tranches de masse



3.4.5 Silhouettes prédominantes

Selon [6] : « Est décrite comme classe prédominante du trafic poids lourds toute silhouette dont la part se monte à plus de 1% du nombre total de poids lourds »

Silhouettes prédominantes					
Configuration	Silhouette	SWISS10	Détections		
S/S/Tr	0 - - - - 0 + - - - - 000		10	375'249	27.3%
S/S	<i>Non-cohérent</i>			180'016	13.1%
S/S	0 - - - - 0		8	152'581	11.1%
S/S/Ta	0 - - - - 0 + - - - - 00		10	118'948	8.7%
S/S	0 - - - - 0		1	65'392	4.8%
S/S/S	<i>Non-cohérent</i>			50'527	3.7%
S/S/Ta	0 - - - - 0 + - - - 00 - -		9	43'508	3.2%
S/S/Ta	<i>Non-cohérent</i>			40'895	3.0%
S/S/Tr	0 - - - - 0 + - - 000 - -		9	40'526	3.0%
Ta/Ta	00 - - - 00		8	36'744	2.7%
S/Ta	0 - - - - 00		8	35'121	2.6%
S/Ta	<i>Non-cohérent</i>			34'705	2.5%
S/S/S/S	0 - - - - 0 + 0 - - - - 0		9	26'547	1.9%
S/Ta/Ta	0 - - - - 00 + - - - 00 - -		9	26'106	1.9%
S/Ta	0 - - - - 00		1	21'162	1.5%
S/S/Tr	<i>Non-cohérent</i>			20'881	1.5%
S/Ta/S/S	0 - - - - 00 + 0 - - - - 0		9	20'600	1.5%
S/S/S/S	0 - - - - 0 + - - - - 0 - 0		10	13'088	1.0%
Autres silhouettes selon SN 640 320					
S/S/S	0 - - - - 0 + - - 0 - -		10	12'077	0.9%
Ta/Tr	00 - - 000		Non-classé (8)	5'195	0.4%
S/S/S/Ta	0 - - - - 0 + 0 - - - 00		9	1'707	0.1%

Légendes : S : essieu simple, Ta : essieu tandem, Tr : essieu tridem

4 Modèle selon norme SN 640 320





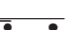



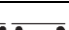
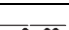

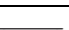

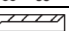
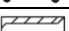
Documents de référence : [1] [2] [6] [12]

4.1 Répartition entre les voies de circulation

Répartition entre les voies de circulation						
Configuration	Direction 1 : Gotthard		Direction 2 : Chiasso			Sur la base de :
	3	4	1	2	-	
1x2 voies 1x3 voies	5.9%	48.0%	34.0%	12.1%	NI	Nombre de détections
	1.8%	54.6%	33.8%	9.8%	NI	Masse totale
	1.2%	60.4%	30.2%	8.2%	NI	Trafic pondéral équivalent total W

Légendes : NI : non-instrumenté

4.2 Facteurs d'équivalence par classes de véhicules

Facteurs d'équivalence k moyen par classes de véhicules						
Silhouette	Chaussées souples et semi-rigides			Chaussées rigides et combinées		
	Direction 1 : Gotthard	Direction 2 : Chiasso	Norme 2011	Direction 1 : Gotthard	Direction 2 : Chiasso	Norme 2011
	0.87	0.63	0.7	0.86	0.60	0.6
	1.43	1.08	1.4	1.98	1.44	2.1
	2.84	0.93	1.5	5.21	1.59	2.7
	2.66	1.62	1.9	6.34	3.75	3.0
	1.06	0.82	0.5	1.01	0.74	0.5
	0.91	1.49	1.7	0.80	1.41	1.8
	1.44	0.91	1.8	1.53	0.91	2.2
	2.87	2.09	2.0	3.66	2.61	2.2
	1.98	1.49	2.0	1.95	1.42	1.9
	2.70	2.66	1.7	3.00	3.02	1.6
	3.17	2.89	1.3	3.47	3.22	1.0
	2.41	1.63	2.5	2.99	1.97	2.6
	1.65	1.32	1.2	2.31	1.81	0.9
	3.51	2.39	0.7	3.80	2.54	0.6
	1.40	1.04	1.4	2.02	1.47	2.1

4.3 Facteurs d'équivalence par catégories de véhicules

Facteurs d'équivalence k moyen par catégories de véhicules						
Catégorie SWISS10	Chaussées souples et semi-rigides			Chaussées rigides et combinées		
	Direction 1 : Gotthard	Direction 2 : Chiasso	Norme 2011	Direction 1 : Gotthard	Direction 2 : Chiasso	Norme 2011
1 : Bus, car	2.97	2.04	2.3	3.34	2.25	2.3
8 : Camion	1.29	0.75	0.9	1.77	0.90	1.0
9 : Train routier	2.33	1.90	1.9	2.75	2.21	2.0
10 : Véhicule articulé	2.52	1.73	1.7	3.14	2.08	2.0

4.4 Facteur d'équivalence moyen

Facteurs d'équivalence k moyen pour le type de route / Part sur échantillon de données						
Données	Chaussées souples et semi-rigides			Chaussées rigides et combinées		
	Direction 1 : Gotthard	Direction 2 : Chiasso	Norme 2011	Direction 1 : Gotthard	Direction 2 : Chiasso	Norme 2011
Silhouettes (2-6 axes)	1.86	1.36	1.6	2.36	1.63	1.7
	99.5%	99.2%		99.5%	99.2%	
Catégories	2.15	1.55		2.80	1.84	
	71.0%	77.0%		71.0%	77.0%	
Classes	2.27	1.55		2.82	1.84	
	69.9%	75.4%		69.9%	75.4%	

4.5 Classe de trafic pondéral équivalent actuelle selon SN 640 324

Chaussées souples et semi-rigides

Direction 1 : Gotthard

$$TF_0 = \frac{752'603 \text{ PL}}{316.0 \text{ jours}} \cdot 1.86 \cdot \frac{60.4\%}{61.6\%} = 4'353 \text{ ESAL/jour} \rightarrow \text{Trafic de classe T6 : Extr. lourd}$$

Direction 2 : Chiasso

$$TF_0 = \frac{621'045 \text{ PL}}{304.6 \text{ jours}} \cdot 1.36 \cdot \frac{30.2\%}{38.4\%} = 2'181 \text{ ESAL/jour} \rightarrow \text{Trafic de classe T5 : Très lourd}$$

Chaussées rigides et combinées

Direction 1 : Gotthard

$$TF_0 = \frac{752'603 \text{ PL}}{316.0 \text{ jours}} \cdot 2.36 \cdot \frac{60.4\%}{61.6\%} = 5'509 \text{ ESAL/jour} \rightarrow \text{Trafic de classe T6 : Extr. lourd}$$

Direction 2 : Chiasso

$$TF_0 = \frac{621'045 \text{ PL}}{304.6 \text{ jours}} \cdot 1.63 \cdot \frac{30.2\%}{38.4\%} = 2'622 \text{ ESAL/jour} \rightarrow \text{Trafic de classe T5 : Très lourd}$$

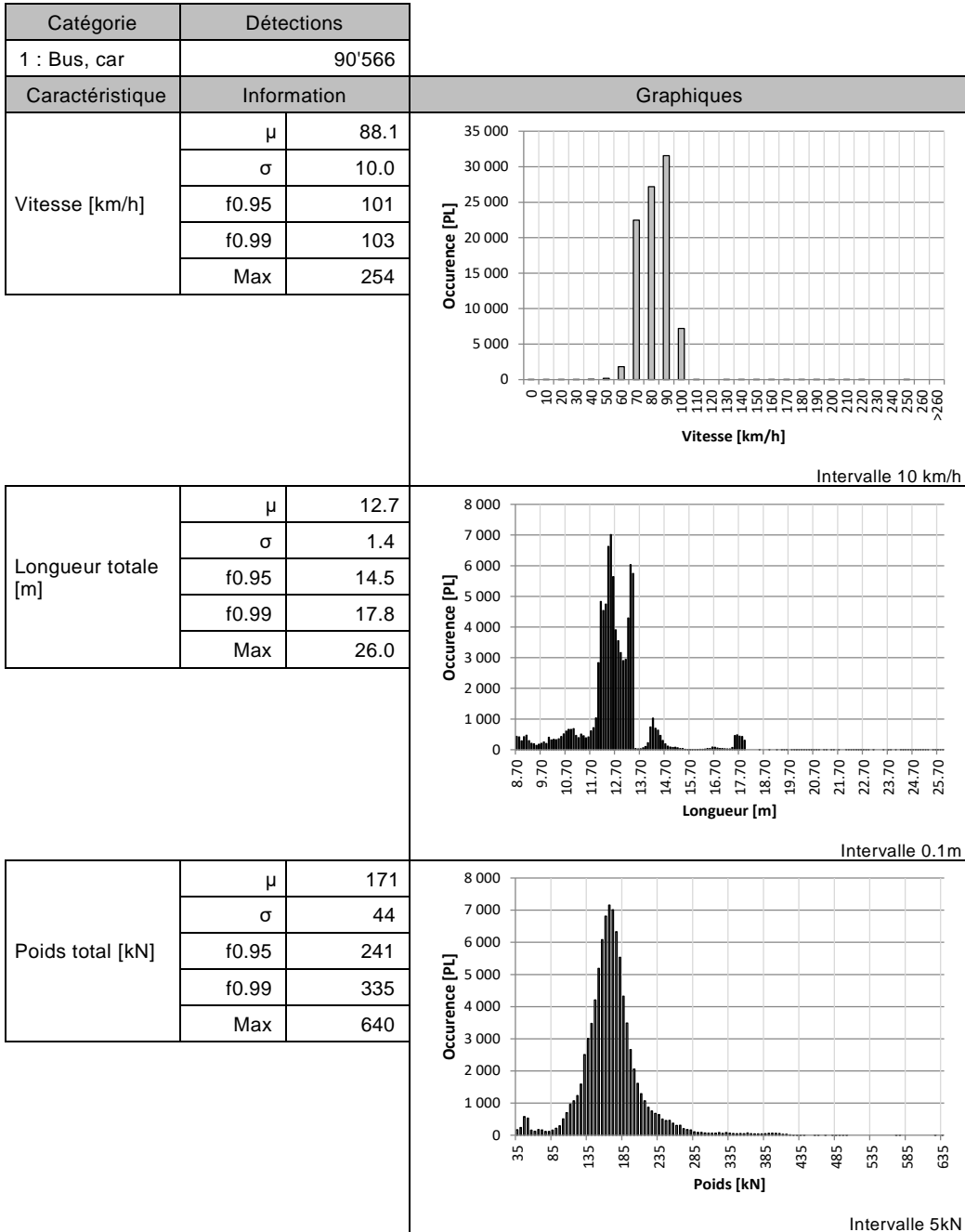
4.6 Tendence pour l'estimation du taux d'accroissement annuel

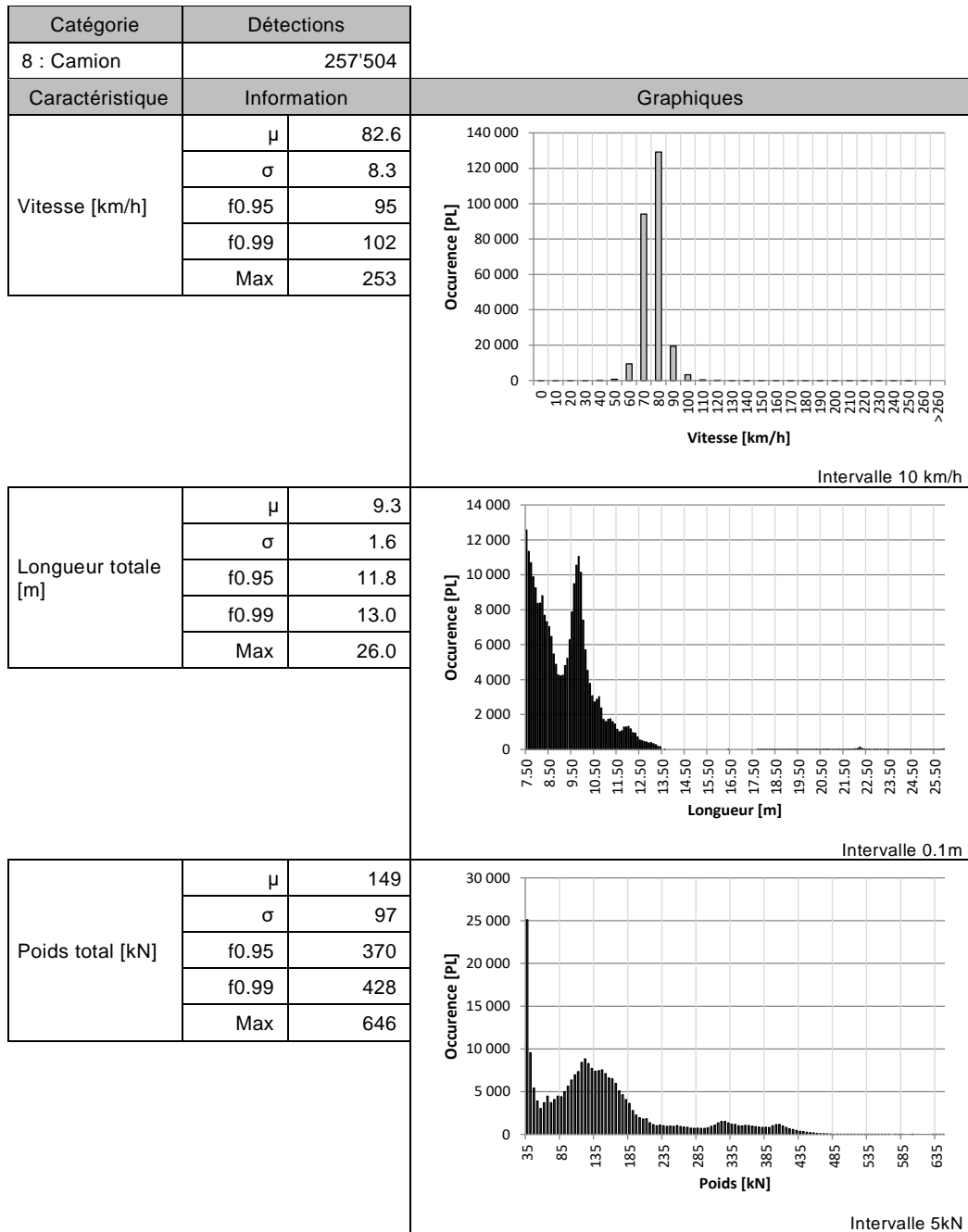
Tendance pour l'estimation du taux d'accroissement annuel		
Direction 1 : Gotthard	Direction 2 : Chiasso	Sur la base de :
+1.2%	+0.2%	Nombre de détections
+0.6%	-0.2%	Masse totale
+2.4%	0.0%	Trafic pondéral équivalent total W

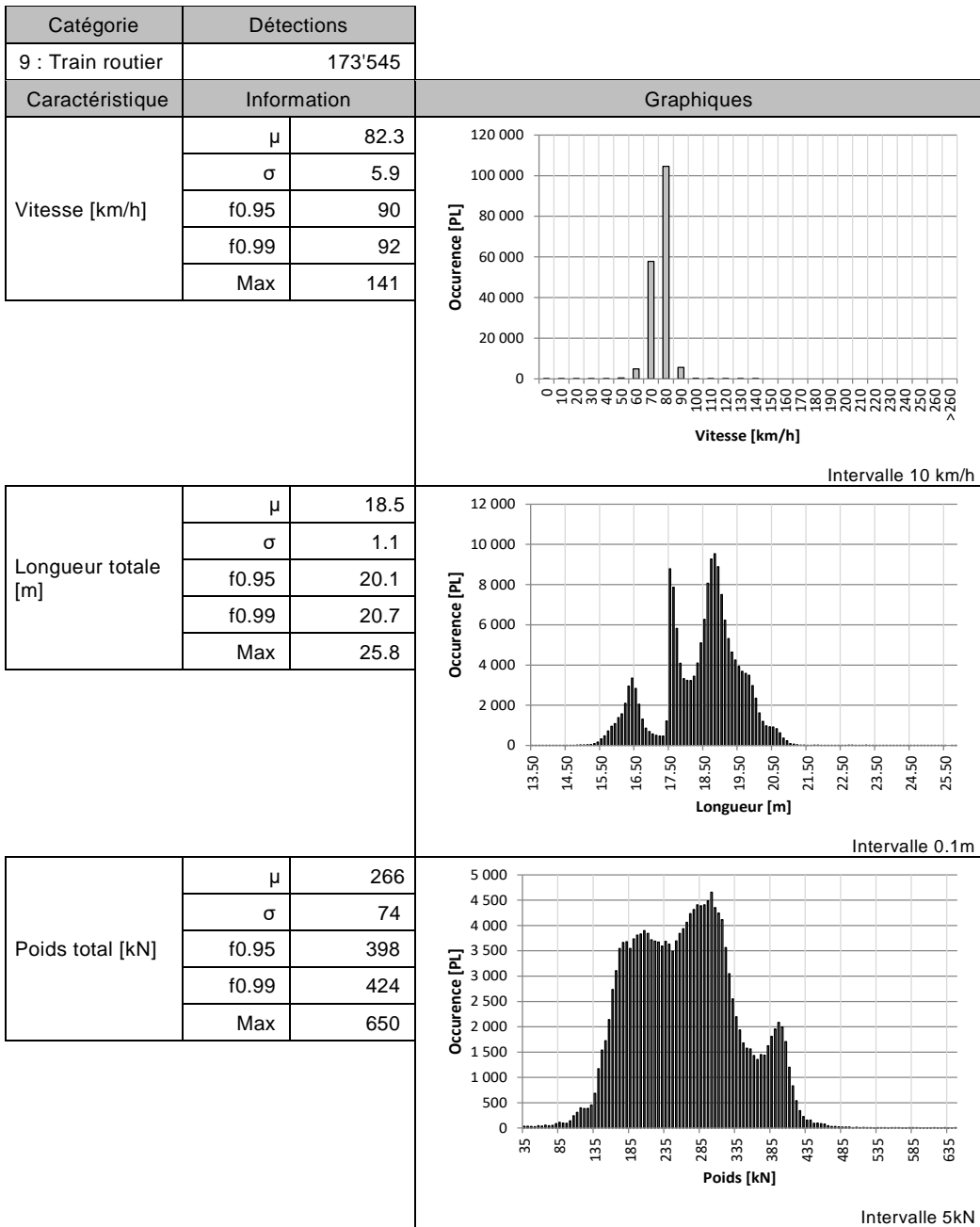
Cette section est déterminée sur la base des rapports annuels 2013 à 2019.

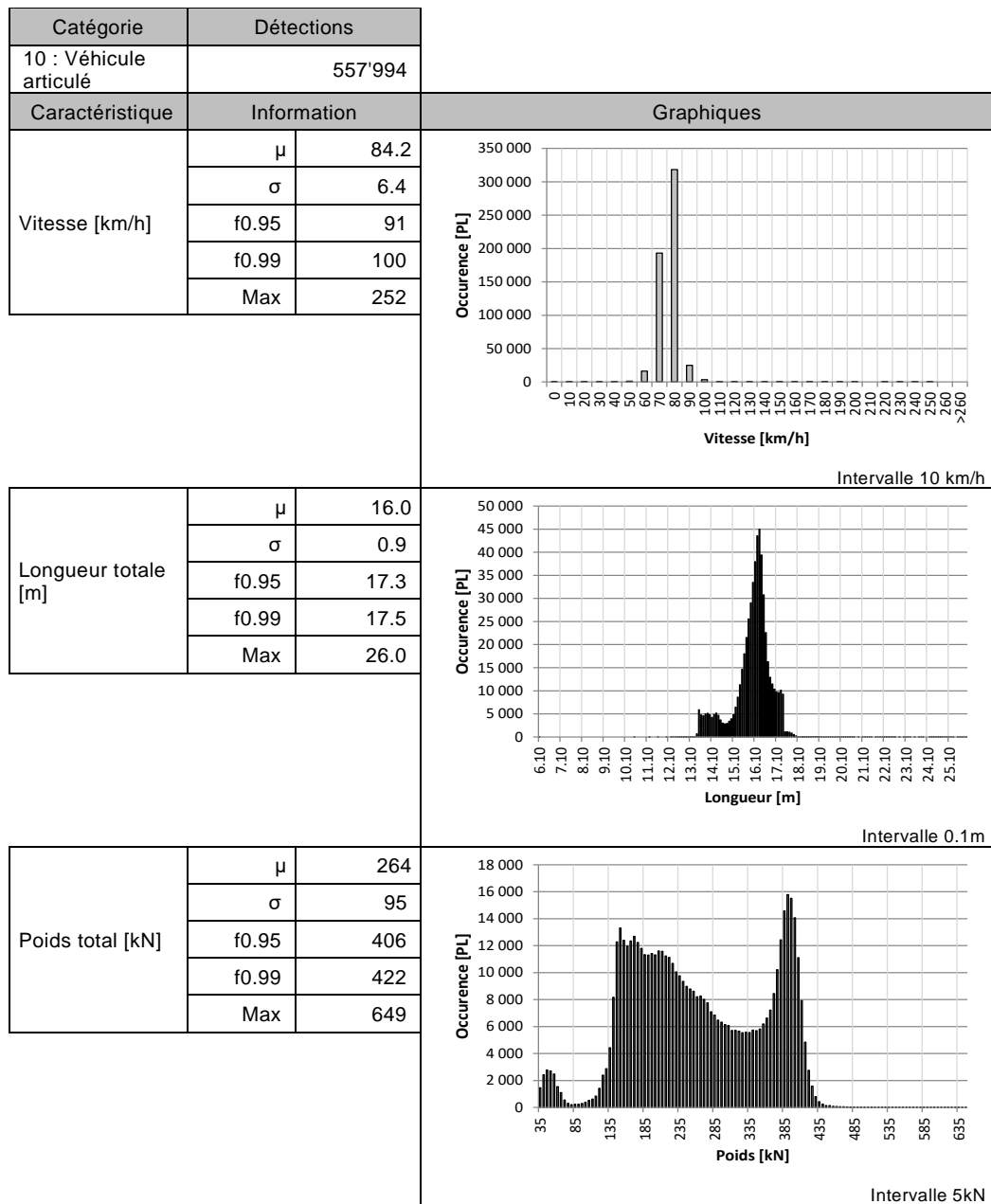
5 Caractéristiques des poids lourds

5.1 Caractéristiques des catégories de poids lourds



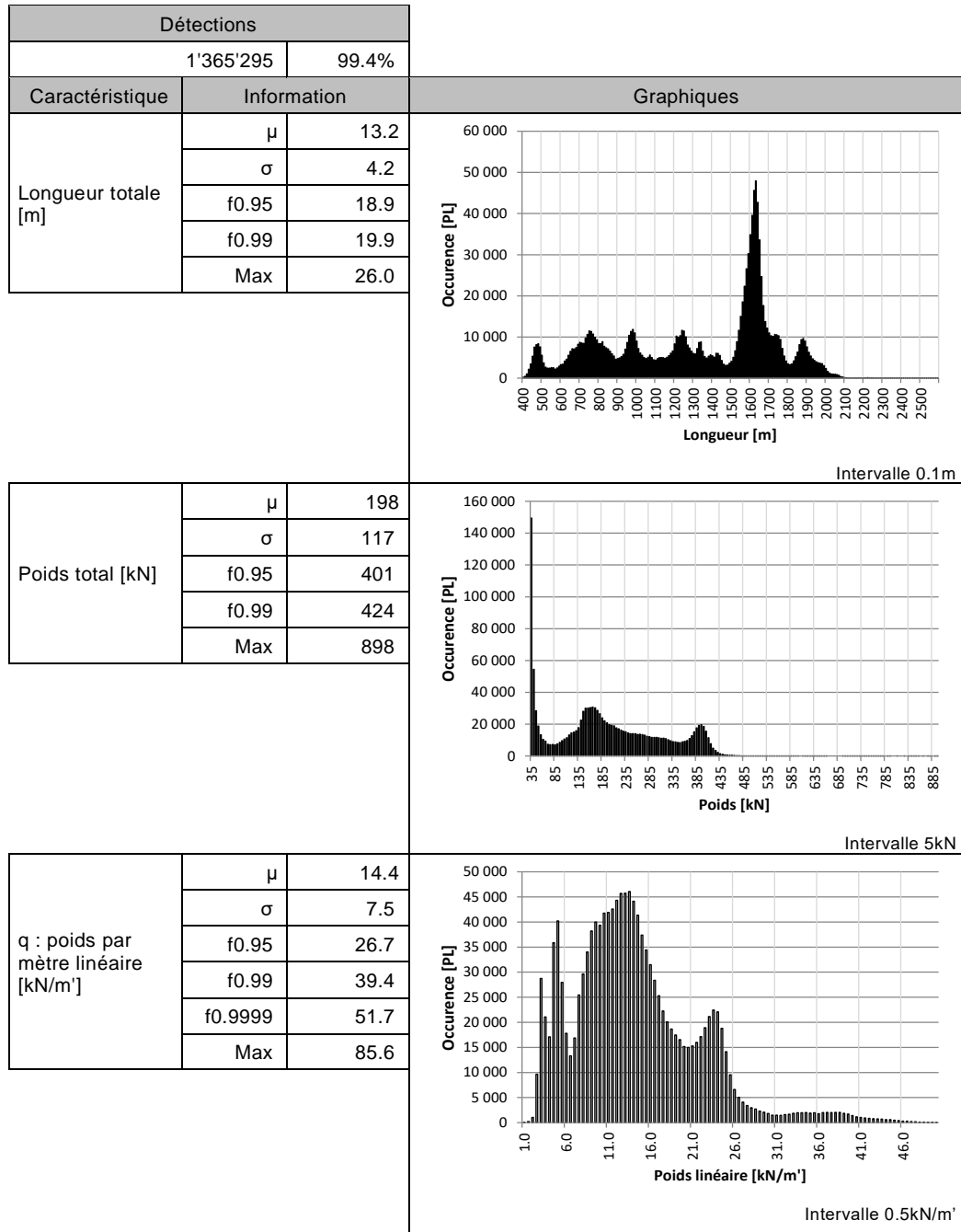


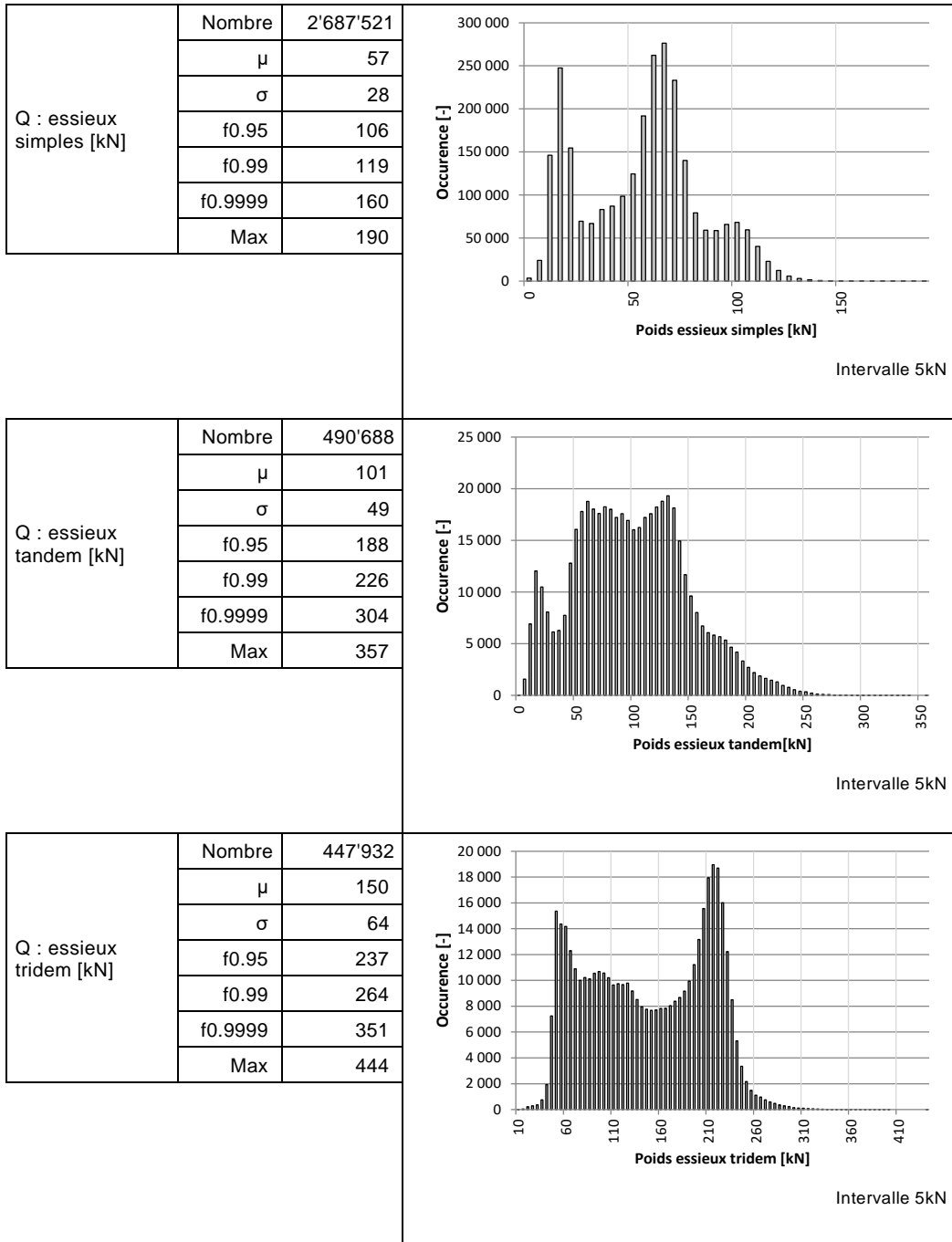




5.2 Caractéristiques globales de l'échantillon

Sur la base des silhouettes de 2 à 6 axes détectées.



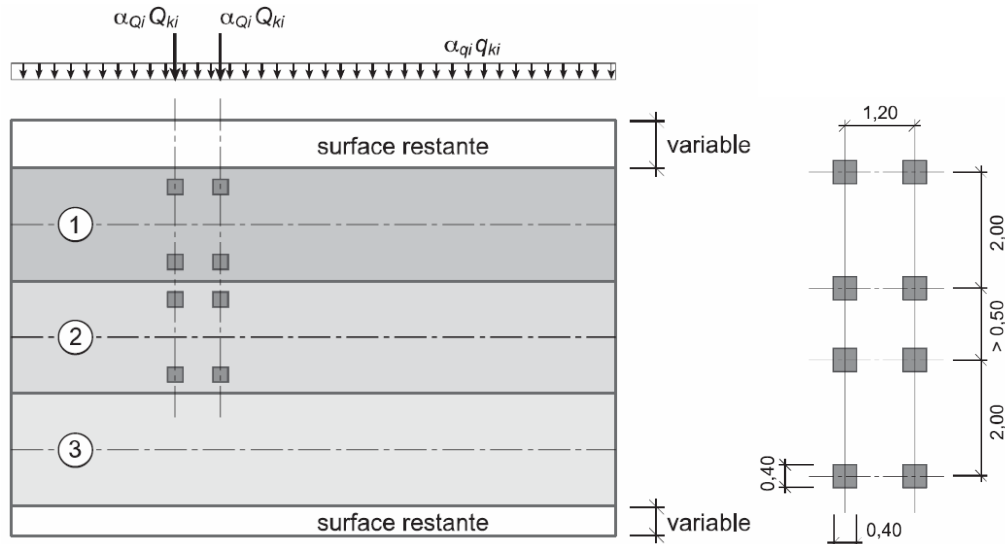


6 Modèle selon norme SIA 261

Document de référence : [3]

Les données considérées sont celles des silhouettes détectées de 2 à 6 axes, soit 99.4% de l'échantillon total.

6.1 Modèle de charge 1 selon SIA 261



- ① voie de circulation fictive $Q_{k1} = 300 \text{ kN}$ $q_{k1} = 9,0 \text{ kN/m}^2$
- ② voie de circulation fictive $Q_{k2} = 200 \text{ kN}$ $q_{k2} = 2,5 \text{ kN/m}^2$
- ③ voie de circulation fictive $q_{k3} = 2,5 \text{ kN/m}^2$
- surface restante $q_{kr} = 2,5 \text{ kN/m}^2$

6.1.1 Charge concentrée Q

Charge concentrée Q					
Type d'essieu	Charge moy. [kN]	Charge moy. par axe [kN]	f0.95 [kN] (par axe)	f0.99 [kN] (par axe)	f0.9999 [kN] (par axe)
Simple	57	57	106	119	160
Tandem	101	51	188 (94)	226 (113)	304 (152)
Tridem	150	50	237 (79)	264 (88)	351 (117)

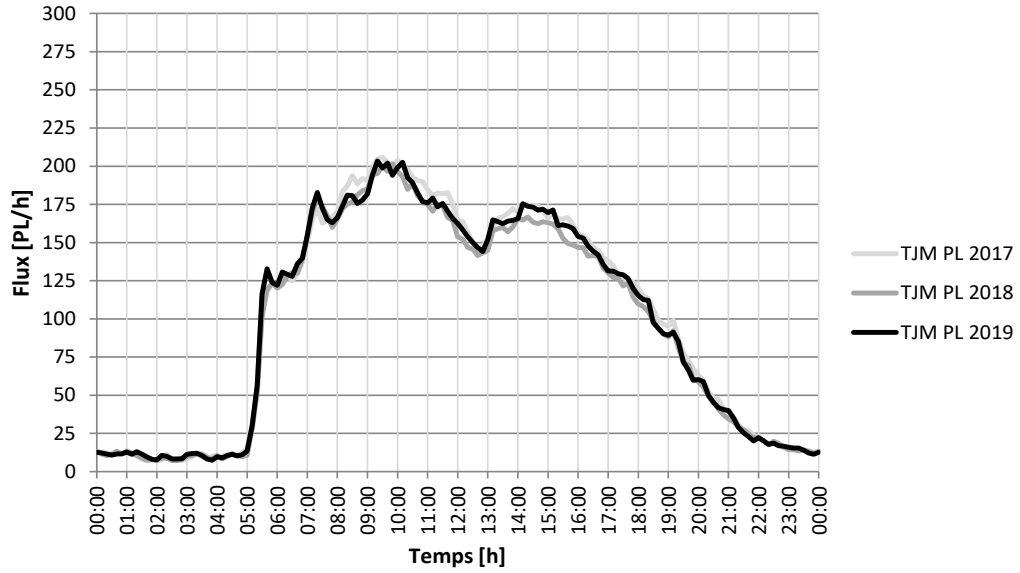
6.1.2 Charge répartie q

Charge répartie q				
Caractéristique	Charge moy.	f0.95	f0.99	f0.9999
Poids par mètre linéaire [kN/m']	14.4	26.7	39.4	51.7
Poids par surface (largeur 3 m) [kN/m²]	4.8	8.9	13.1	17.2

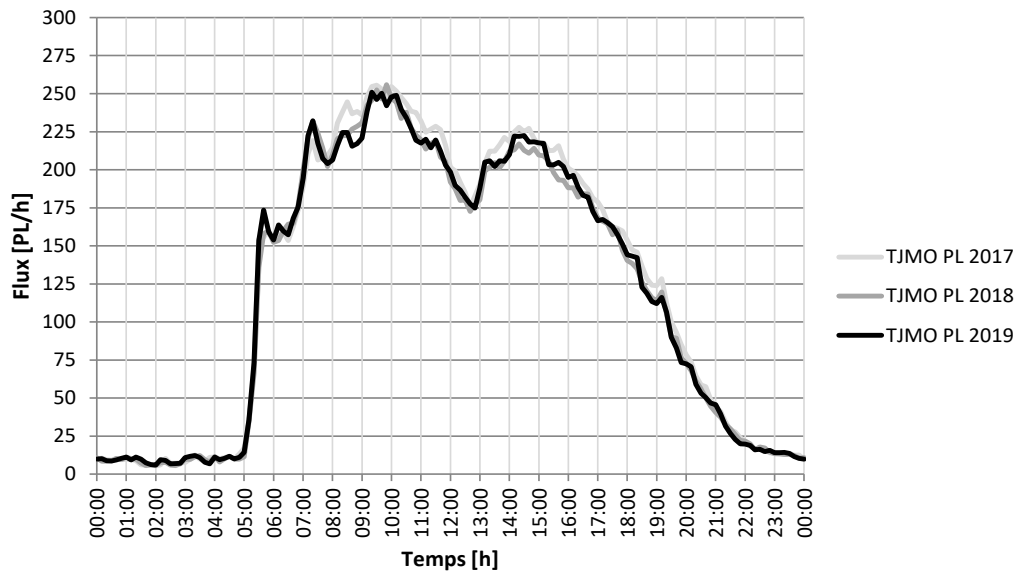
7 Tendances

7.1 Evolution de la répartition horaire annuelle

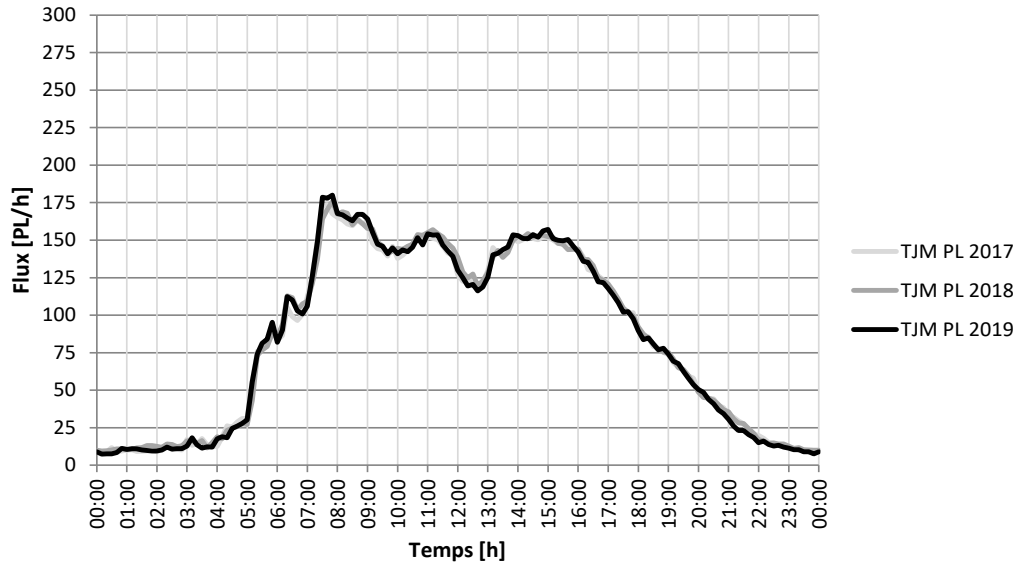
Gotthard



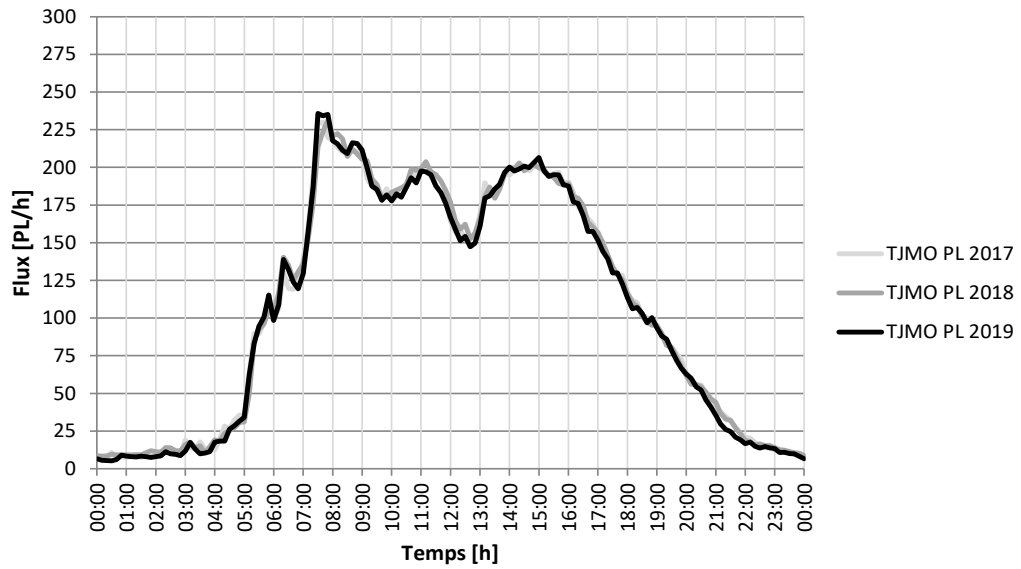
Gotthard



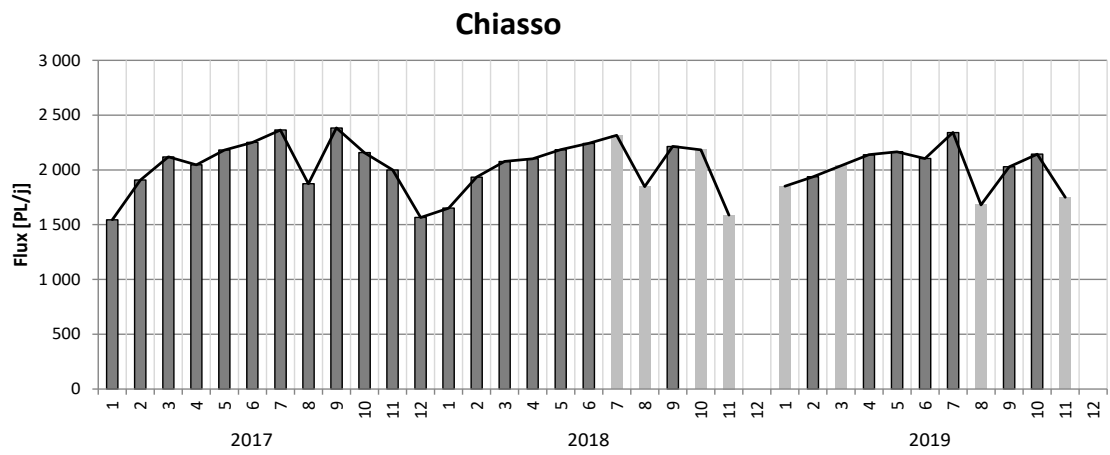
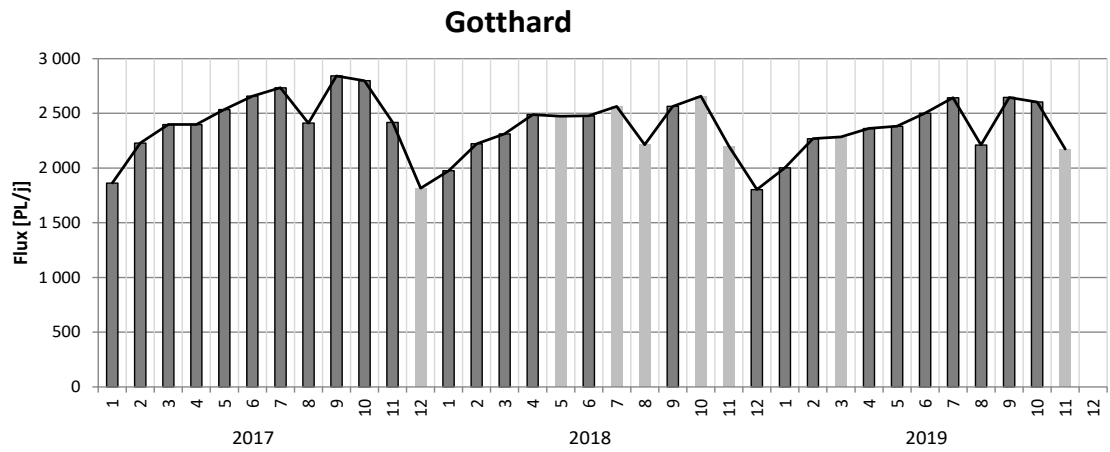
Chiasso



Chiasso



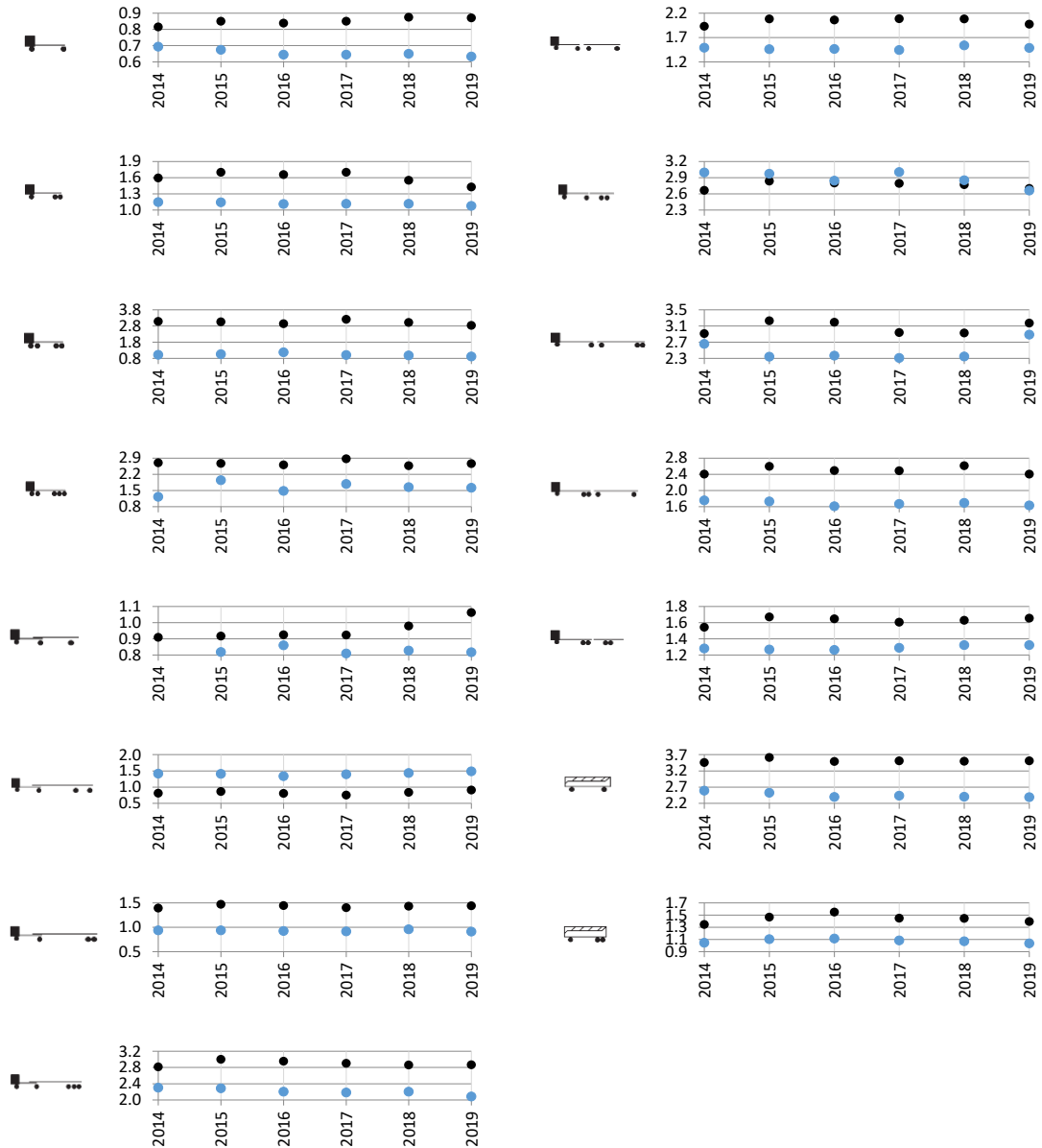
7.2 Evolution de la détection par mois



7.3 Evolution du modèle de la norme SN 640 320

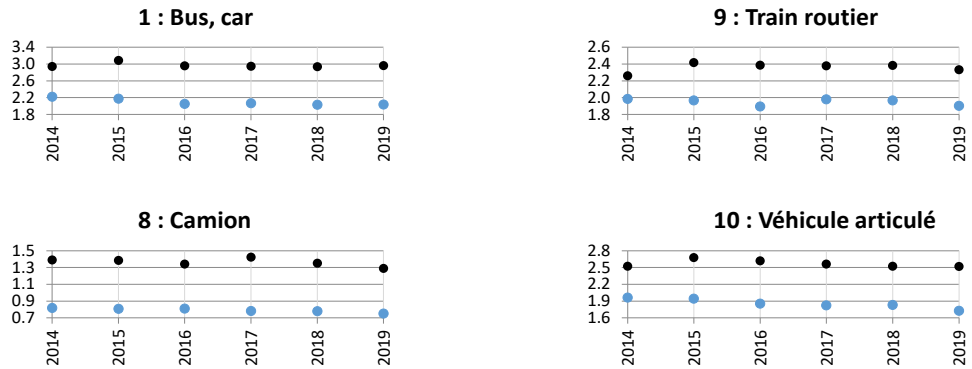
Sont considérées dans ce chapitre uniquement les chaussées souples et semi-rigides.

7.3.1 Evolution des facteurs d'équivalence par classes de véhicules



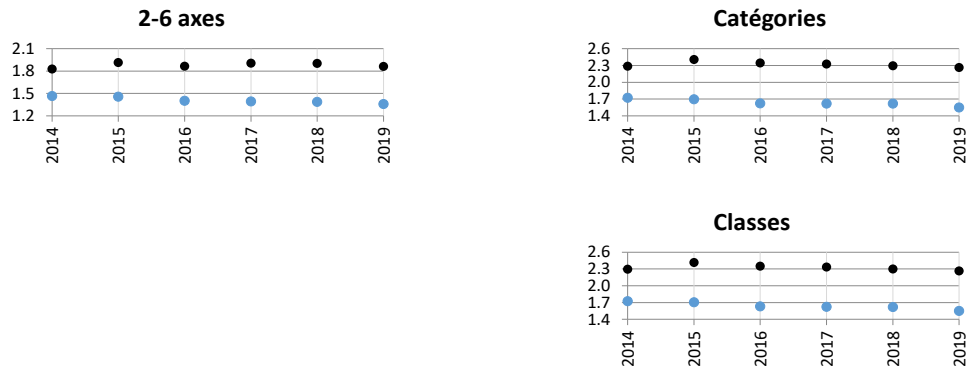
Noir : Direction Gotthard ; Bleu : Direction Chiasso.

7.3.2 Evolution des facteurs d'équivalence par catégories de véhicules



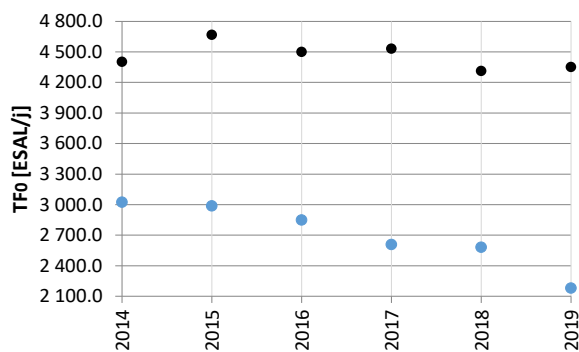
Noir : Direction Gotthard ; Bleu : Direction Chiasso.

7.3.3 Evolution du facteur d'équivalence moyen



Noir : Direction Gotthard ; Bleu : Direction Chiasso.

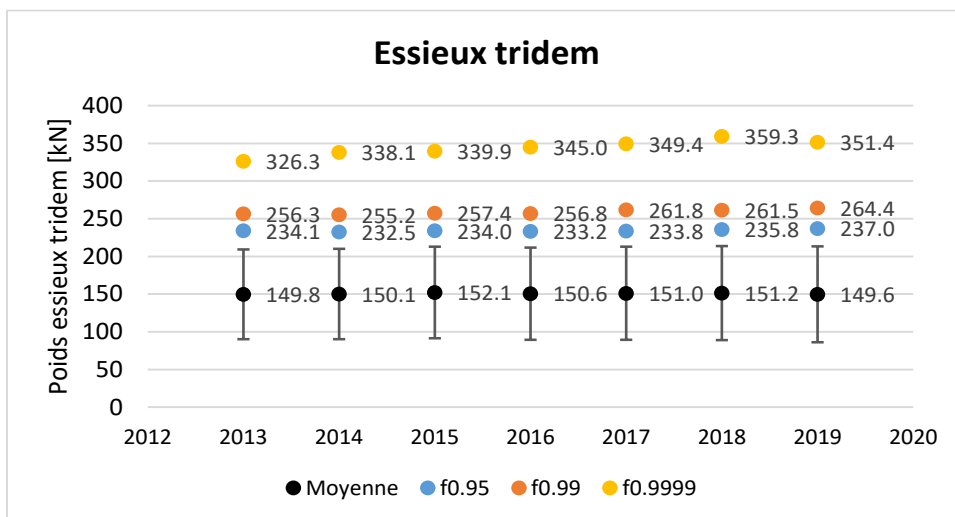
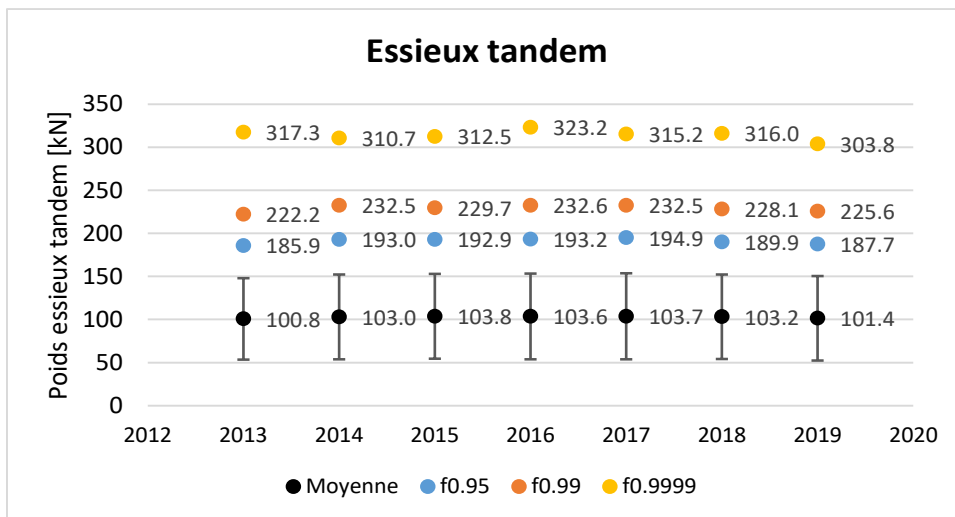
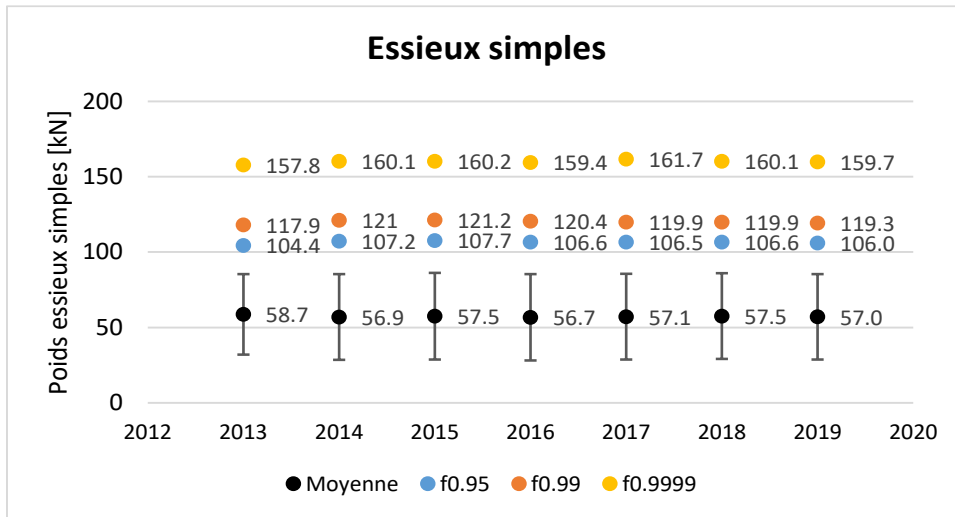
7.3.4 Evolution du trafic pondéral équivalent journalier



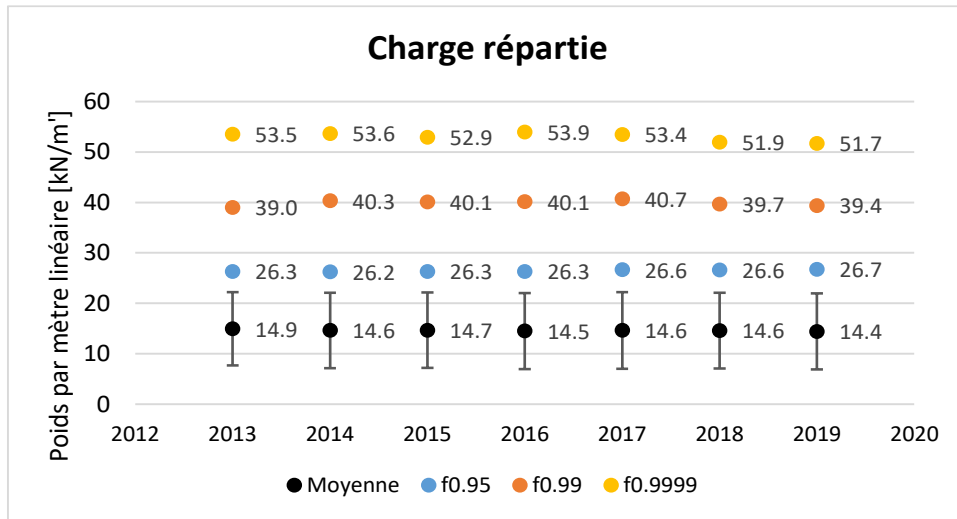
Noir : Direction Gotthard ; Bleu : Direction Chiasso.

7.4 Evolution du modèle de la norme SIA 261

7.4.1 Evolution des quantiles de la charge concentrée Q



7.4.2 Evolution des quantiles de la charge répartie q



8 Niveau de confiance

Documents de référence : [4] [6]

Niveaux de confiance selon [6], valeurs absolues

Niveau de confiance	Variation maximale sur les charges	Variation sur les facteurs d'équivalence
Très bon	0.8%	3%
Bon	2.0%	8%
Satisfaisant	3.2%	13%
Mauvais	> 3.2%	> 13%

Niveau de confiance		
Propriétés	Commentaire	Code couleur
Date de la dernière calibration :	21.09.2016 – Direction Gotthard (Voie 4) 22.09.2015 – Direction Chiasso	
Facteurs de corrections relevés :	Direction Gotthard : -3.25 % Direction Chiasso : -0.40% / -2.22%	
Application du facteur de correction :	Direction Gotthard : Non Direction Chiasso : Non / Oui	
Niveau de confiance à la calibration :	Direction Gotthard : Mauvais Direction Chiasso : Très bon	
Données pouvant être utilisées pour référence :	Direction Gotthard : - Direction Chiasso : 2015	
Constations sur la base du traitement des données WIM		
Pertes de données :	~ 49 jours / 60 jours	
Exclusions :	3.50%	
Cohérence globale des valeurs :	En ordre	
Cohérence des tendances de la station :	En ordre	
Classification SWISS10, VT \geq 3.5 to :	21.4%	
Silhouettes incohérentes :	25.7% dont 25.1% potentiellement dus à la classification SWISS10 0.6% d'autres incohérences	
Propositions		
La confiance dans les données de la station est satisfaisante.		
La précision de la classification SWISS10 ne semble pas suffisante. Une vérification selon les valeurs de précision requises dans [4] est conseillée.		

Légendes des codes couleurs		
Code couleur	Légendes	
	Calibration	Données et cohérence
	1 an	Très bon
	2-3 ans	Bon
	4-5 ans	Satisfaisant
	> 5 ans	Mauvais

Bibliographie

Normes

- [1] Association suisse des professionnels de la route et des transports VSS (Août 2011), « **Dimensionnement de la structure des chaussées – Trafic pondéral équivalent** », SN 640 320.
- [2] Association suisse des professionnels de la route et des transports VSS (Août 2011), « **Dimensionnement de la structure des chaussées – Sol de fondation et chaussée** », SN 640 324.
- [3] Société suisse des ingénieurs et architectes SIA (2014), « **Actions sur les structures porteuses** », norme SIA 261:2014.

Directives

- [4] Office fédéral des routes OFROU (2009), « **Postes de comptage du trafic** », directive ASTRA 13012, édition 2009 V1.05.

Documentation

- [5] M.-A. Fénart, Prof. A.-G. Dumont (LAVOC-EPFL), L. D'Angelo, Prof. A. Nussbamer (ICOM-EPFL) (2017) « **Simulations de trafic intégrant la détermination d'indices de performance structurale. Partie 1 : Trafic** », Office fédéral des routes OFROU, *Projet de recherche AGB 2010/003, Rapport n° 685*.
 - [6] M.-A. Fénart, M. Ould-Henia, M. Delaby (2017) « **Actualisation des facteurs d'équivalence de la norme SN640320** », Office fédéral des routes OFROU, *Projet de recherche VSS 2015/411, Rapport n° 1606*.
 - [7] M.-A. Fénart (2013) « **Modélisations de trafic – Denges (VD) – Ceneri (TI)** », *Technical report EPFL dans le cadre du projet de recherche AGB 2011/003 « Aktualisierte Bremskräfte zur Überprüfung von Strassenbrücken »*, LAVOC – EPFL.
 - [8] Bressi S., Fürbringer J.-M., Fénart M.-A., Dumont A.-G. (LAVOC / SB-SPH, EPFL) (2014) « **Global Sensitivity Analysis and Monte Carlo Analysis of Swiss design method applied to flexible pavements** », *Conférence EATA 2015*, Stockholm, Suède.
 - [9] J. Martins, M.-A. Fénart, G. Feltrin, A.-G. Dumont, K. Beyer (2015) « **Defining a braking probability to estimate extreme braking forces on road bridges** », *Conférence ICASP12 2015*, Vancouver, Canada.
 - [10] J. Martins, M.-A. Fénart, G. Feltrin, A.-G. Dumont, K. Beyer (2014) « **Deriving a load model for braking forces on road bridges: Comparison between a deterministic and a probabilistic approach** », *Istanbul Bridge Conference*, Istanbul, Turquie.
 - [11] L. D'Angelo, Prof. A. Nussbaumer, M.-A. Fénart, Prof. A.-G. Dumont (2013) « **Fatigue life assessment of existing motorway bridge** », *SEMC 2013*, Afrique du Sud.
 - [12] AASHTO (1986 - 1998), « **AASHTO Guide for Design of Pavement Structures** », American Association of State Highway and Transportation Officials.
-